

# Analisi di Immagini e Video (Computer Vision)

Giuseppe Manco

# Outline

- Sift
- Harries Corner Detection

# Crediti

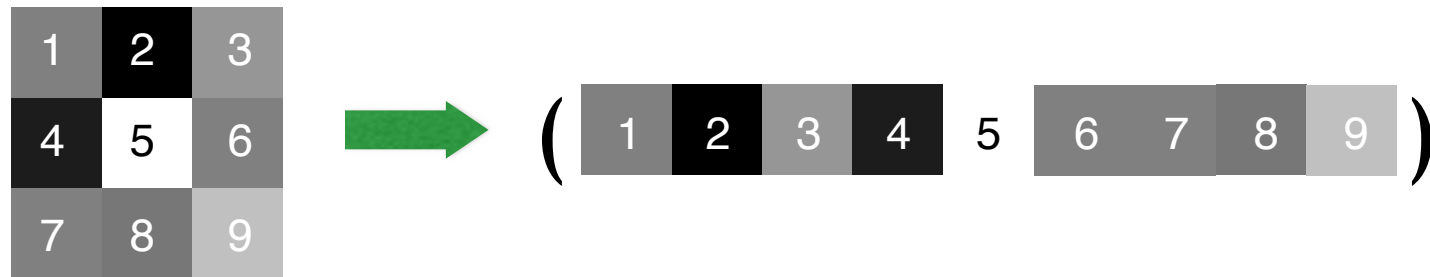
- Slides adattate da vari corsi e libri
  - Analisi di Immagini (F. Angiulli) – Unical
  - Intro to Computer Vision (J. Tompkin) – CS Brown Edu
  - Computer Vision (I. Gkioulekas) - CS CMU Edu
  - Computational Visual Recognition (V. Ordonez), CS Virginia Edu
  - Pattern Recognition and Machine Learning (C. Bishop, 2005)
  - Deep Learning (Bengio, Courville, Goodfellow, 2017)

# Quali sono i descrittori di un keypoint?

- Vettori
- Istogrammi
- Risposte su patches

# Image patch

Vettore di intensità dei colori, combinato con downsampling



# Gradienti

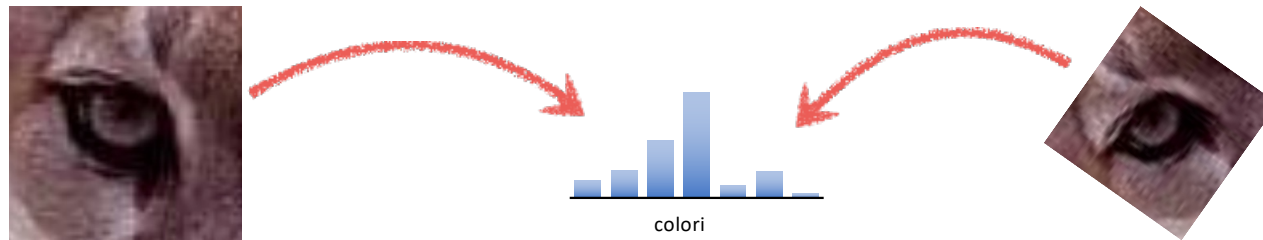
Differenze sui pixel

1	2	3
4	5	6
7	8	9



Vettore di derivate

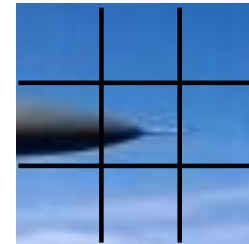
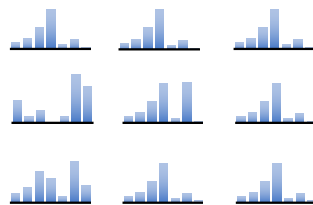
# Istogrammi di colori



Invarianti ai cambiamenti di scala e rotazione

# Istogrammi spaziali

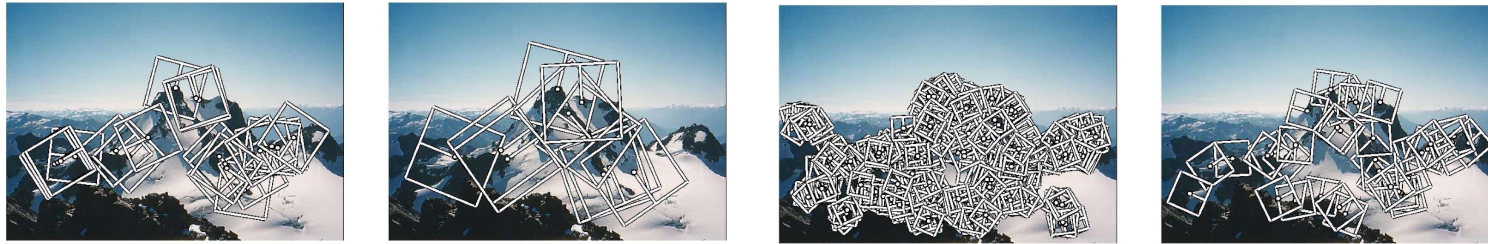
Calcoliamo gli istogrammi su celle



Invariante alle deformazioni



# MOPS: Multi-Scale oriented patches



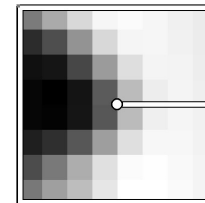
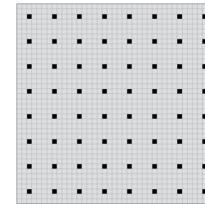
# MOPS

Multi-Image Matching using Multi-Scale Oriented Patches. M. Brown, R. Szeliski and S. Winder.  
International Conference on Computer Vision and Pattern Recognition (CVPR2005). pages 510-517

$$(x, y, s, \theta)$$

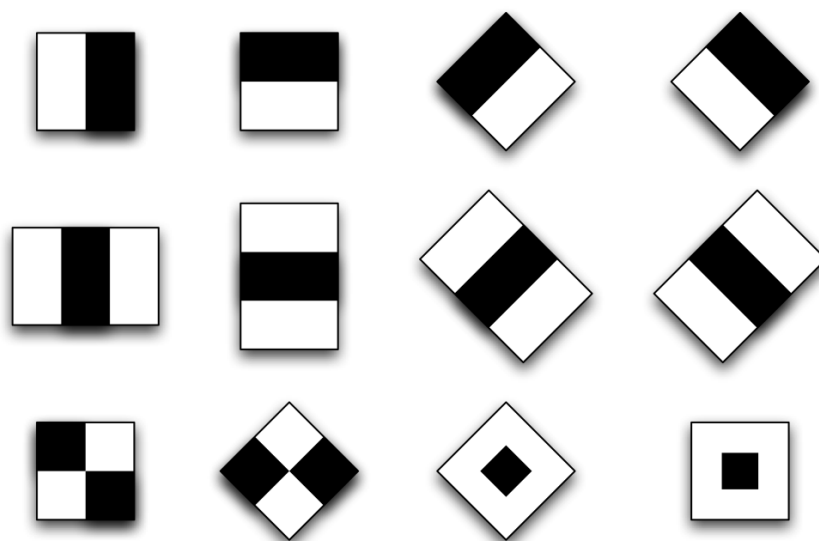
Data una feature

- Considera una patch 40 x 40, campionata
- Standardizza i valori
- Applica i filtri di Haar



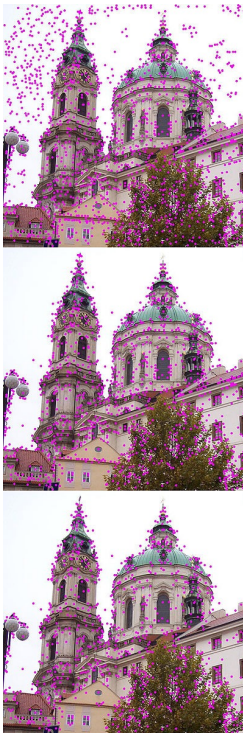
# Haar-like features

Si calcola il responso della patch su ogni filtro come descrittore



# SIFT

(Scale Invariant Feature Transform)

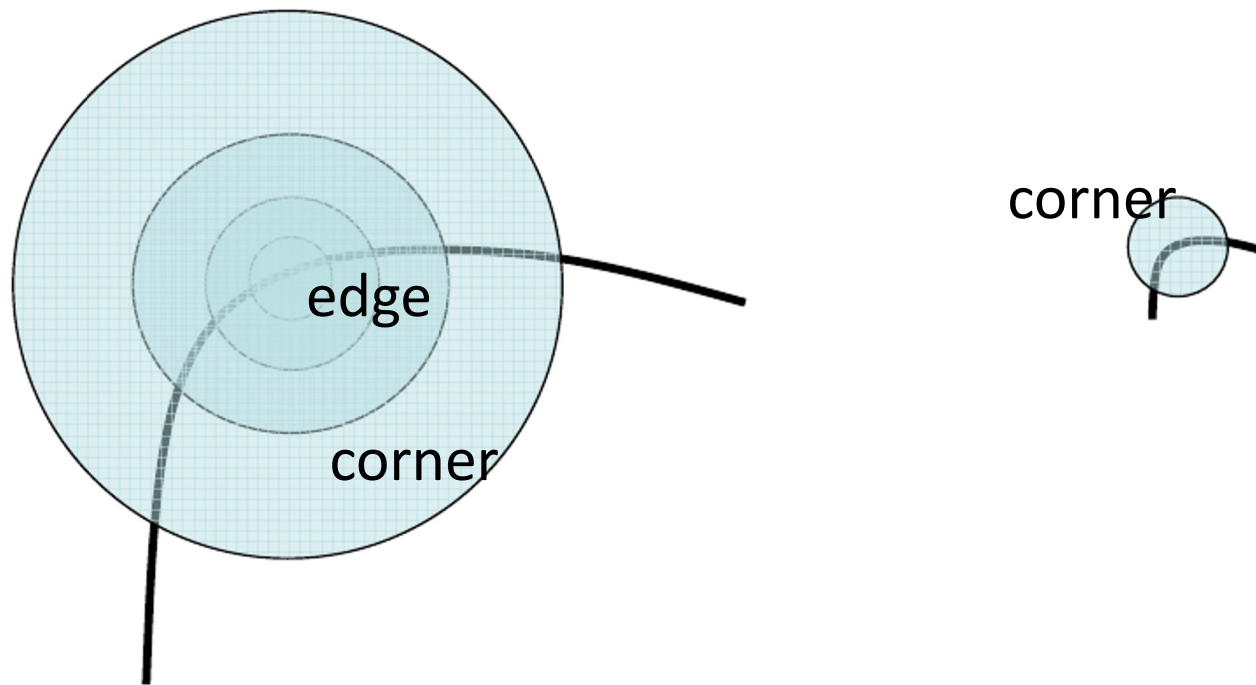


Descrive sia un detector che un descrittore

1. Multi-scale extrema detection
2. Keypoint localization
3. Orientation assignment
4. Keypoint descriptor

[https://docs.opencv.org/3.1.0/da/df5/tutorial\\_py\\_sift\\_intro.html](https://docs.opencv.org/3.1.0/da/df5/tutorial_py_sift_intro.html)

# Scale Invariant Local Features



# Scale Space

- Lo **scale space** è una rappresentazione multiscala dell'immagine basata su un parametro di scala continuo  $\sigma$
- La rappresentazione a scala  $\sigma$  si ottiene effettuando la convoluzione di  $f$  con il kernel Gaussiano avente deviazione standard  $\sigma$
- Le informazioni a scala più fine vengono progressivamente soppresse

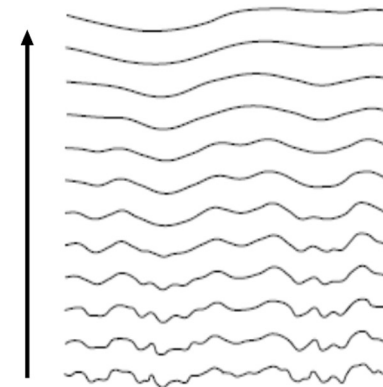


Immagine  
originale

$\sigma=1$

$\sigma=2$

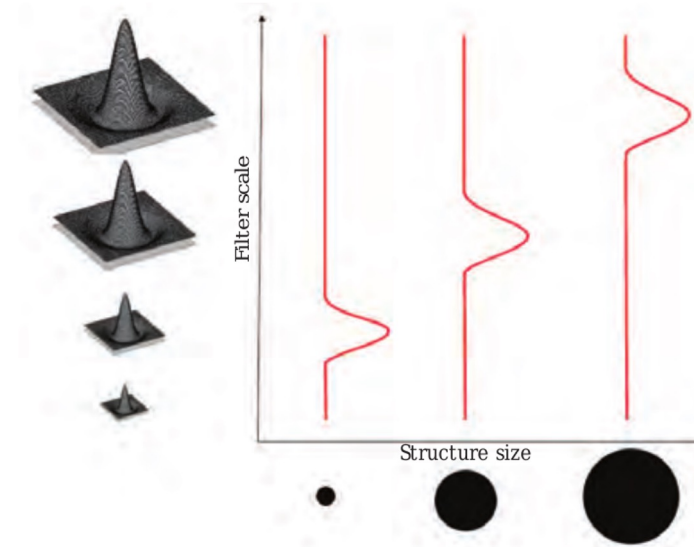
$\sigma=4$

# Laplacian of Gaussian Detector

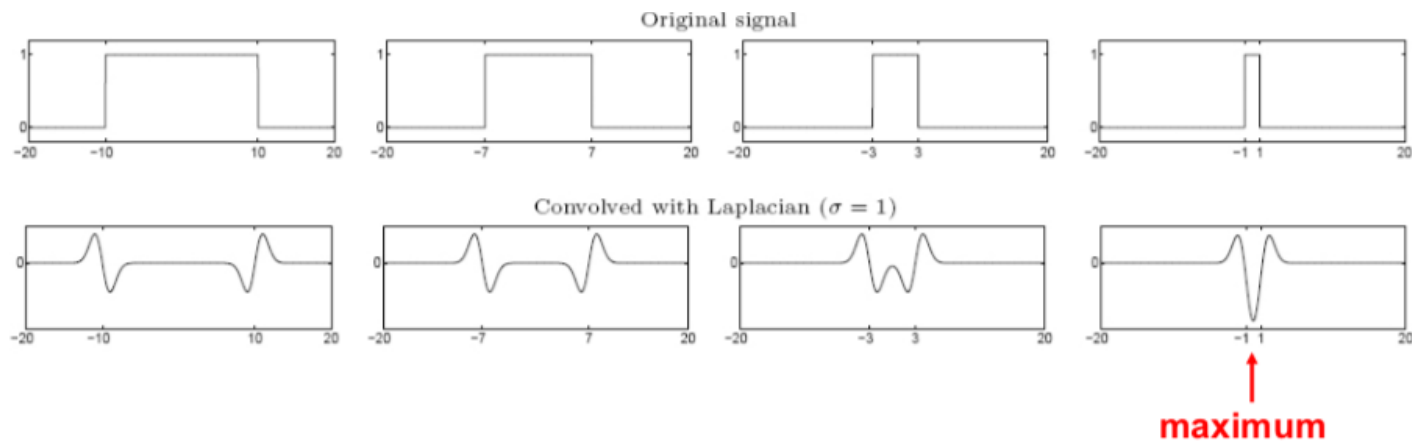
- LoG scale invariant keypoint detector:

$$L(x, y; \sigma) = \sigma^2 [\nabla^2 G(x, y; \sigma) \star f(x, y)]$$

- dove il fattore  $\sigma^2$  è richiesto per l'invarianza di scala
- Il LoG filter massimizza la risposta quando viene applicato ad una regione che contiene una struttura circolare approssimativamente della dimensione del filtro stesso (*blob detector*)

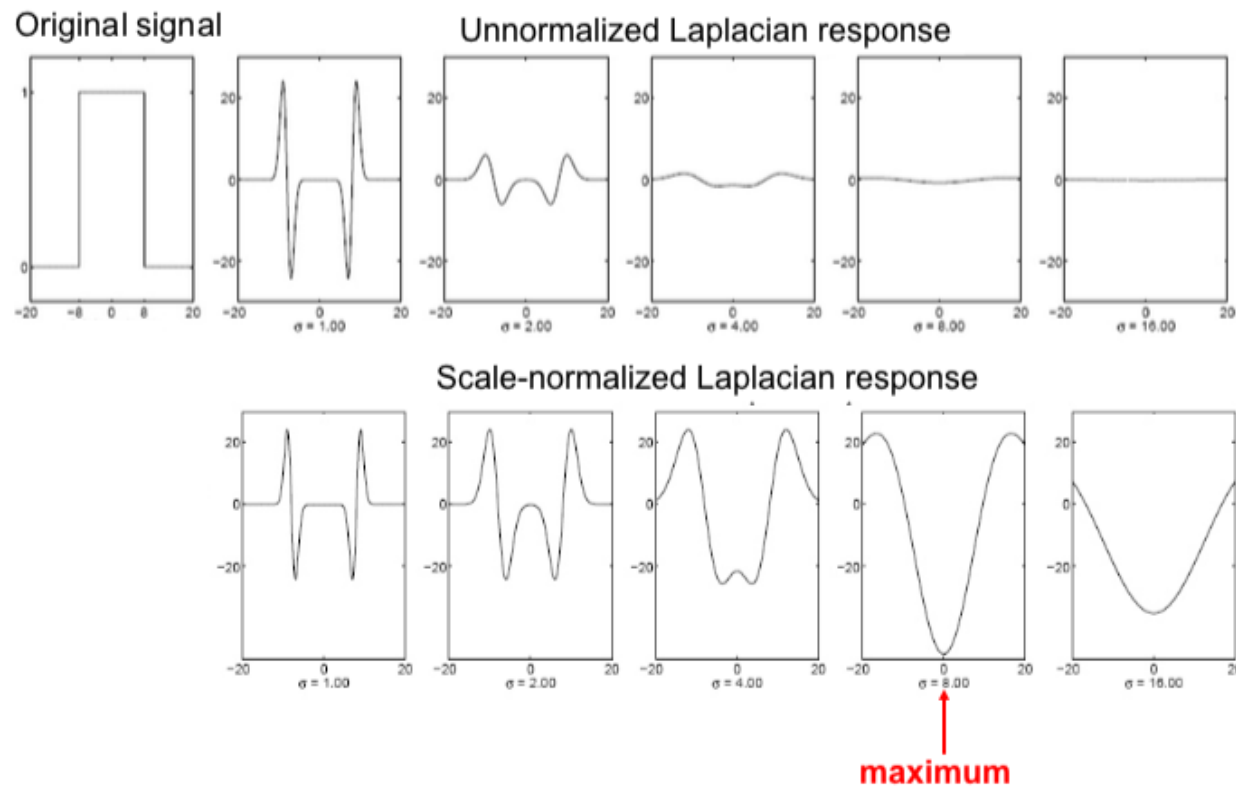


# Laplacian response (in 1D)



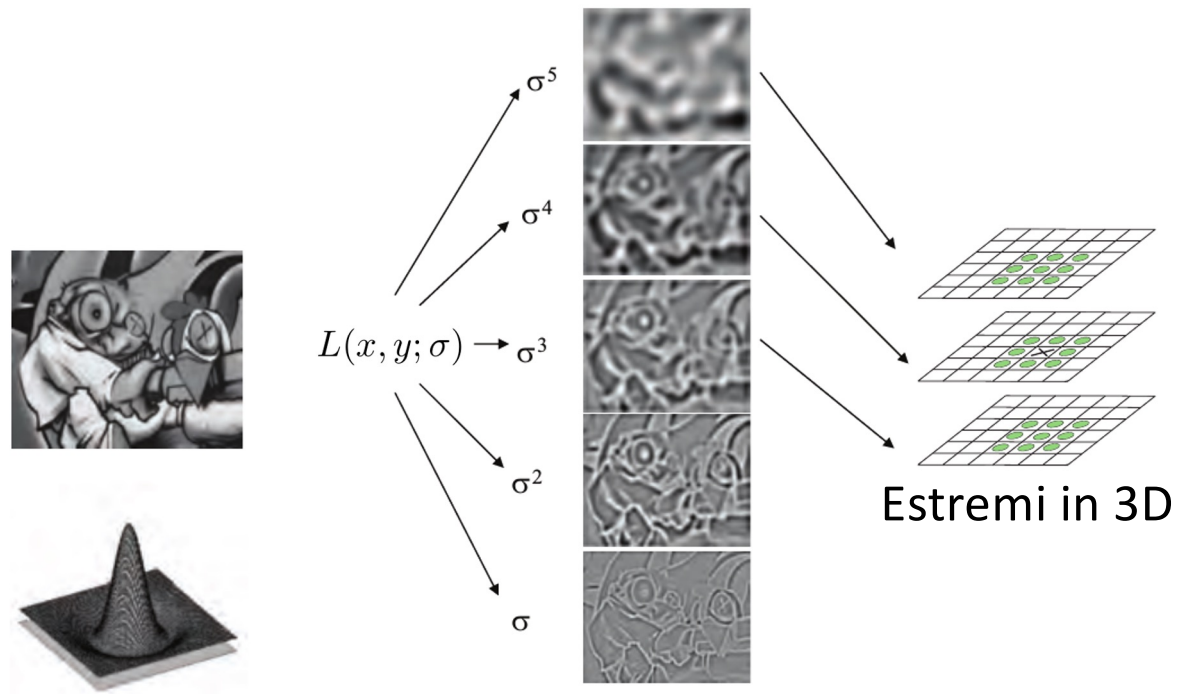


# Laplacian response (in 1D)



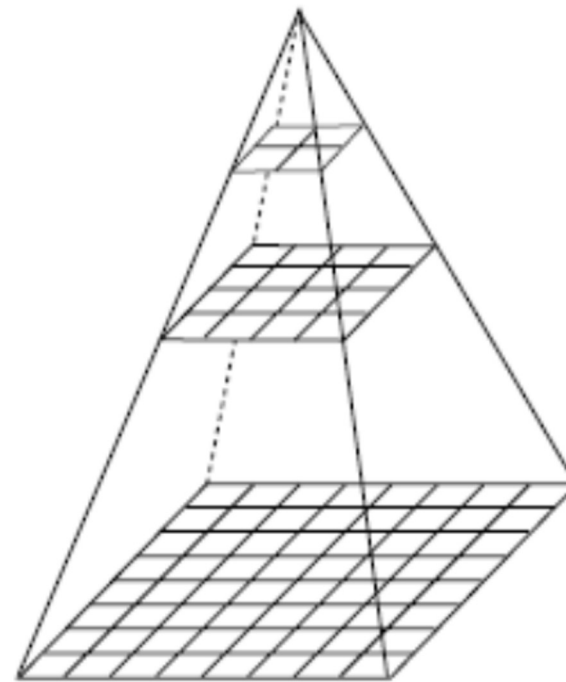
# Laplacian of Gaussian Detector

- I LoG keypoint sono gli estremi in questa rappresentazione scale space



# Piramide Gaussiana

- La piramide è una collezione di rappresentazioni di un'immagine strutturate su più livelli, in cui ogni livello ha in genere dimensione pari ad un quarto del livello sottostante
- In una piramide gaussiana, ogni livello è ottenuto da quello sottostante effettuando (1) un filtraggio con un kernel Gaussiano di deviazione standard  $\sigma$  e quindi (2) una scalatura di un fattore 0.5



# Piramide Gaussiana

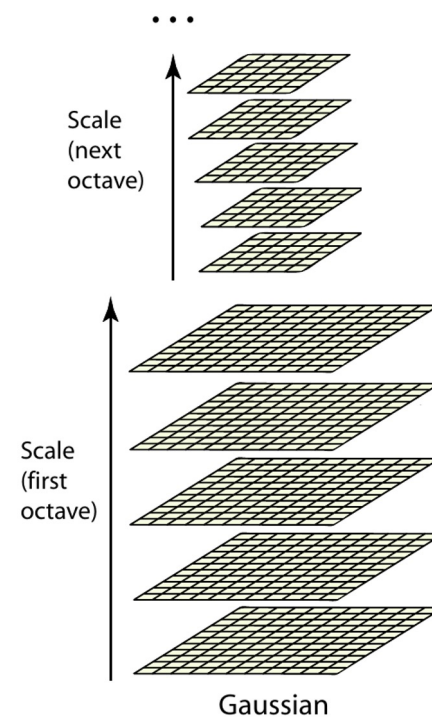
- Dato un fattore di scala  $\sigma$  ed un operatore di scalatura  $S$ :
  - $f_0(x,y) = f(x,y)$
  - $f_{n+1}(x,y) = S(G(x,y,\sigma)*f_n(x,y))$
- dove  $f_{n+1}(x,y)$  ha sempre dimensione pari ad un quarto di  $f_n(x,y)$  per effetto del dimezzamento del numero di pixel in verticale ed in orizzontale (l'immagine  $f_n(x,y)$  al livello  $n$  della piramide è l'equivalente dell'immagine  $G(x,y,2^{n-1}\sigma)*f_0(x,y)$ )

# Piramide Gaussiana



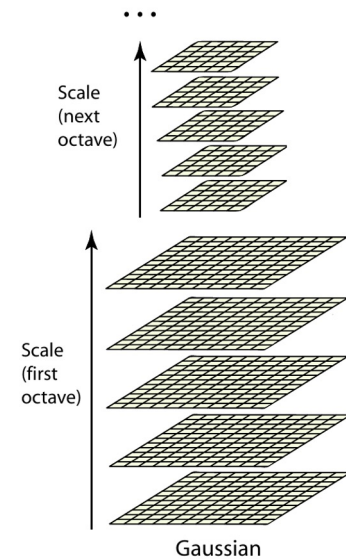
# Piramide Gaussiana: Ottave

- Per rendere più efficiente l'analisi, lo scale space è diviso in **ottave**, ognuna delle quali copre un livello della piramide Gaussiana (scale da  $\sigma_L$  a  $2\sigma_L$ )
- Sia  $\sigma_L$  la scala di un certo livello della piramide, l'ottava (da  $\sigma_L$  a  $2\sigma_L$ ) viene a sua volta suddivisa in  $s$  intervalli ( $n=0,1,\dots,s$ ) aventi scala
  - $\sigma_n = k^n \sigma_L$  con  $k = 2^{1/s}$
- Si noti che  $\sigma_0 = \sigma_L$  e  $\sigma_s = 2\sigma_L$  e quindi l'ultima scala di ogni ottava corrisponde alla prima scala dell'ottava successiva (in quanto il kernel Gaussiano utilizzato raddoppia ad ogni livello della piramide)
- Nel passaggio all'ottava successiva, si dimezza la dimensione l'immagine ed è possibile riapplicare gli stessi kernel gaussiani utilizzati nell'ottava precedente (anziché raddoppiare la dimensione dei kernel)



# Piramide Gaussiana: Ottave

- Ad esempio, per  $s=3$  avremo:
  - $k = 2^{1/s} = 1.2599$
  - $\sigma_0 = k^0 = 1 \rightarrow$  kernel 7x7
  - $\sigma_1 = k^1 = 1.2599 \rightarrow$  kernel 9x9
  - $\sigma_2 = k^2 = 1.5874 \rightarrow$  kernel 11x11
  - $\sigma_3 = k^3 = 2 \rightarrow$  kernel 13x13
- Per ottenere le diverse ottave è sufficiente applicare sempre gli stessi kernel ad ogni livello della piramide



# Difference of Gaussian Detector

- Il filtro LoG può essere approssimato dalla differenza di due Gaussiane (DoG) aventi differente deviazione standard:

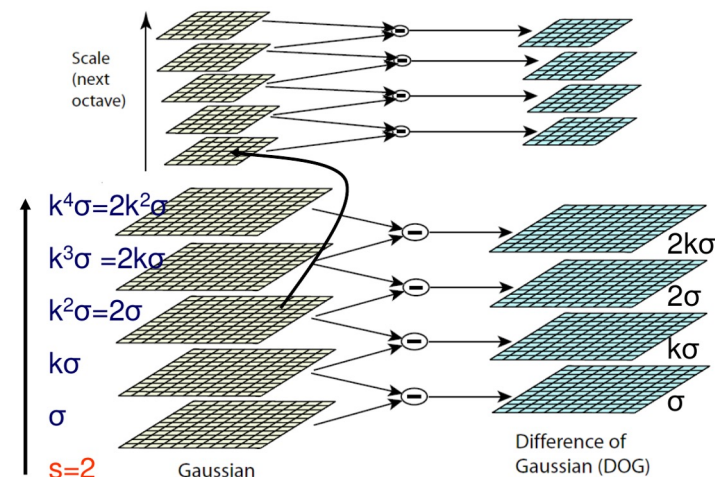
$$\begin{aligned} D(x, y; \sigma) &= [G(x, y; k\sigma) - G(x, y; \sigma)] \star f(x, y) \approx \\ &\approx [(k - 1)\sigma^2 \nabla^2 G(x, y; \sigma)] \star f(x, y) = \\ &= (k - 1)L(x, y; \sigma). \end{aligned}$$

- Il vantaggio di questa espressione è che può essere efficientemente calcolata come differenza di due scale adiacenti

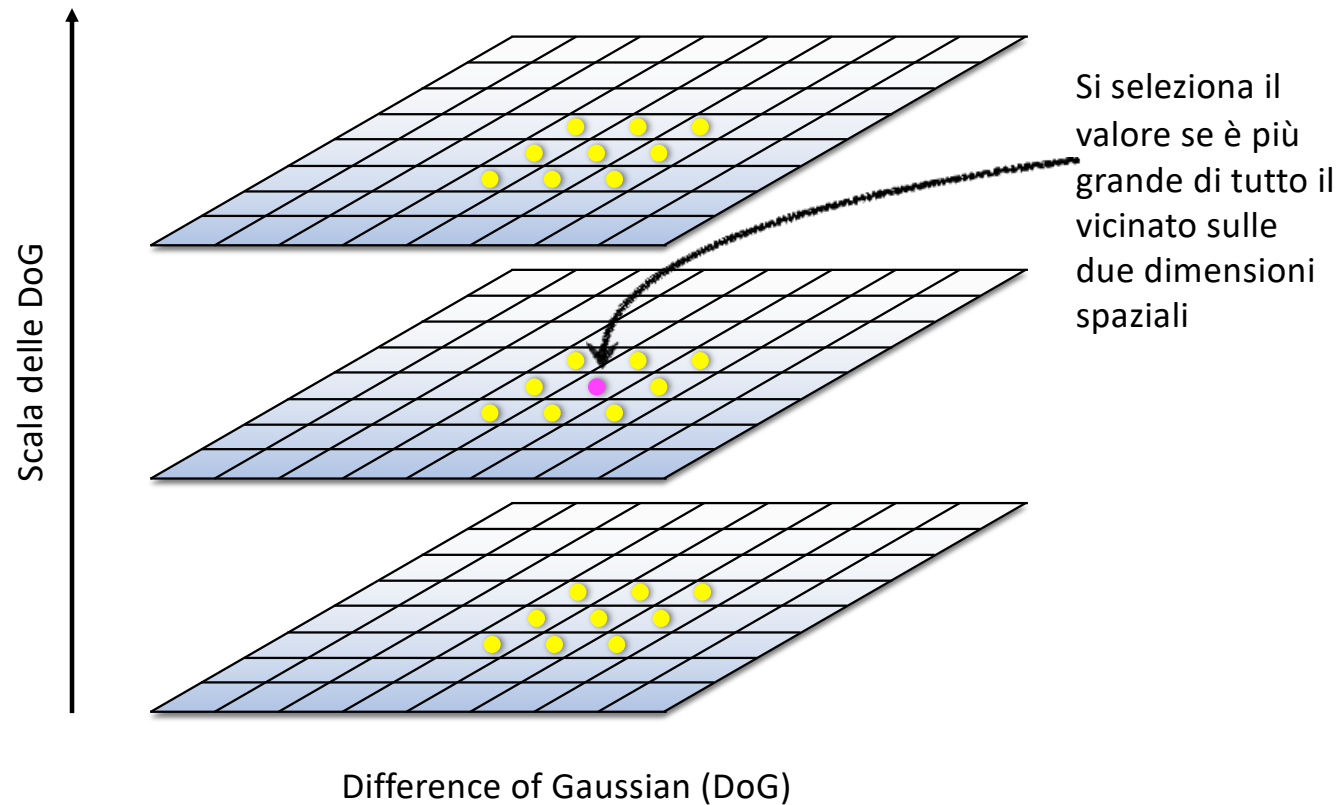


# Difference of Gaussian Detector

- Al fine di determinare anche i veri massimi nella prima immagine di ogni ottava, per ogni livello della piramide si determinano  $s+3$  intervalli
- Per  $s=2$  si calcolano  $s+3=5$  immagini con  $\sigma$  crescente di un fattore  $k=\sqrt{2}$
- Si calcolano le differenze tra livelli adiacenti (DoG) e si determinano gli estremi nella corrispondente rappresentazione 3D



# Scale-space extrema & Keypoint location



# Interest Region Extraction

- Per catturare la struttura nell'intorno del keypoint, viene considerata la regione di raggio  $r$  centrata nel punto individuato (raggio  $r=3\sigma$  viene utilizzato da diversi detector, dove  $\sigma$  denota la scala caratteristica del keypoint) detta anche *interest region*
- Dopo che l'interest region è stata selezionata, dev'essere *normalizzata* per invarianza alle rotazioni:
  - Si determina l'*orientazione dominante* e quindi si ruota il contenuto della regione in accordo all'associato angolo in modo da portarla in un'*orientazione canonica*

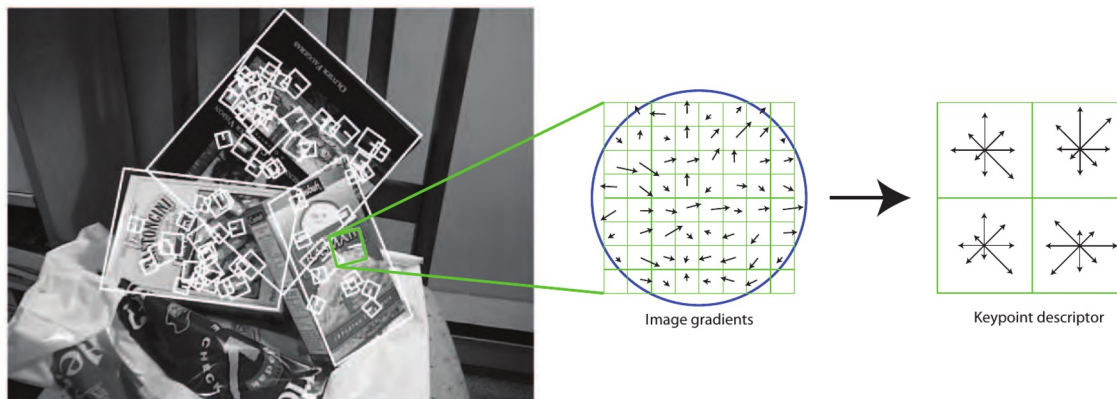
# Interest Region Extraction

- Determinazione dell'**orientazione dominante** (Lowe 2004):
  - si costruisce un istogramma delle orientazioni con 36 intervalli (bins) che coprono 360 gradi (con un passo di 10 gradi)
  - Per ogni pixel nella regione considerata, si calcola il gradiente e la corrispondente orientazione viene inserita nell'istogramma dopo averla pesata in base al rispettivo modulo e ad una funzione Gaussiana di deviazione standard  $1.5\sigma$  centrata nel keypoint
  - Il picco dell'istogramma viene scelto come orientazione dominante (per determinare l'orientazione precisa si effettua un'interpolazione tra usando i 3 bin centrati nel picco)

# SIFT Feature Descriptor

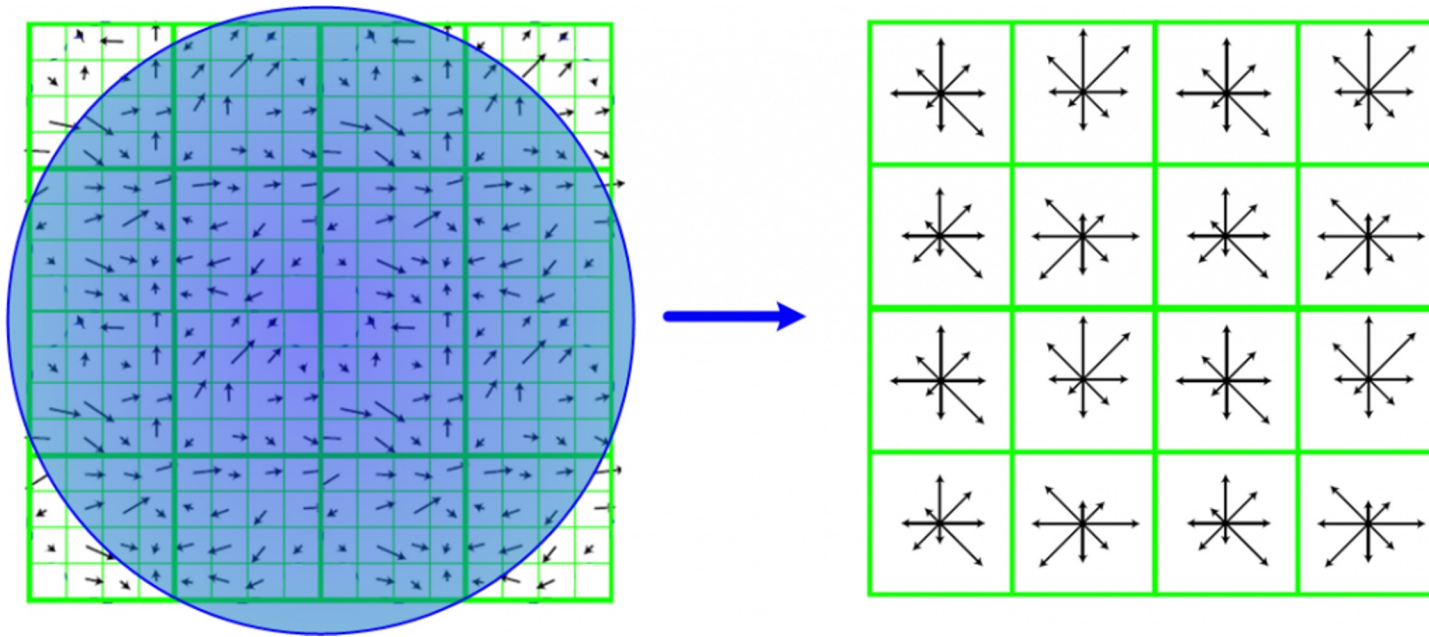
- La **Scale Invariant Feature Transform** (SIFT) è stata introdotta da Lowe (2004) come una combinazione
  - del DoG interest point/region detector e
  - del SIFT feature descriptor
- Queste due componenti sono state utilizzate in seguito anche come tecniche a sé stanti

# SIFT Feature Descriptor

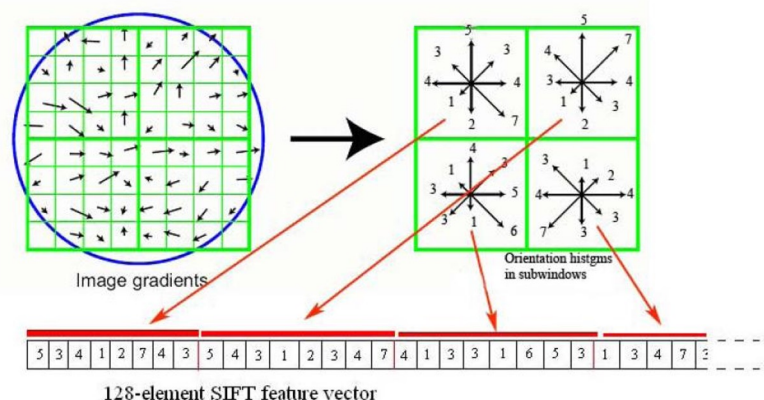


- Dopo che l'interest region è stata portata nell'orientazione canonica, viene costruita una griglia di 16x16 celle che copre l'intera interest region (per ottenere invarianza alla scala)
- Si determinano i gradienti in corrispondenza delle suddette celle e le rispettive orientazioni, dopo essere state pesate in base al rispettivo modulo e ad un kernel Gaussiano con  $\sigma=r/2$ , vengono inserite in una griglia 4x4 (avente grana più grossa della precedente) di istogrammi di orientazioni, ognuno dei quali è composto da 8 bin (associati alle 8 direzioni principali)

# SIFT Feature Descriptor



# SIFT Feature Descriptor



- Il SIFT descriptor (*localized set of gradient orientation histograms*) si ottiene concatenando i 16 istogrammi (4 x 4) da 8 bins, ottenendo un vettore a  $4 \times 4 \times 8 = 128$  dimensioni:
  - L'alta dimensionalità rende il descrittore distintivo
  - La suddivisione spaziale permette ai gradienti di subire piccoli spostamenti
- Per rendere il descrittore meno sensibile ai cambiamenti d'illuminazione il vettore viene normalizzato all'unità di lunghezza